

SUPPLEMENTARY MATERIAL

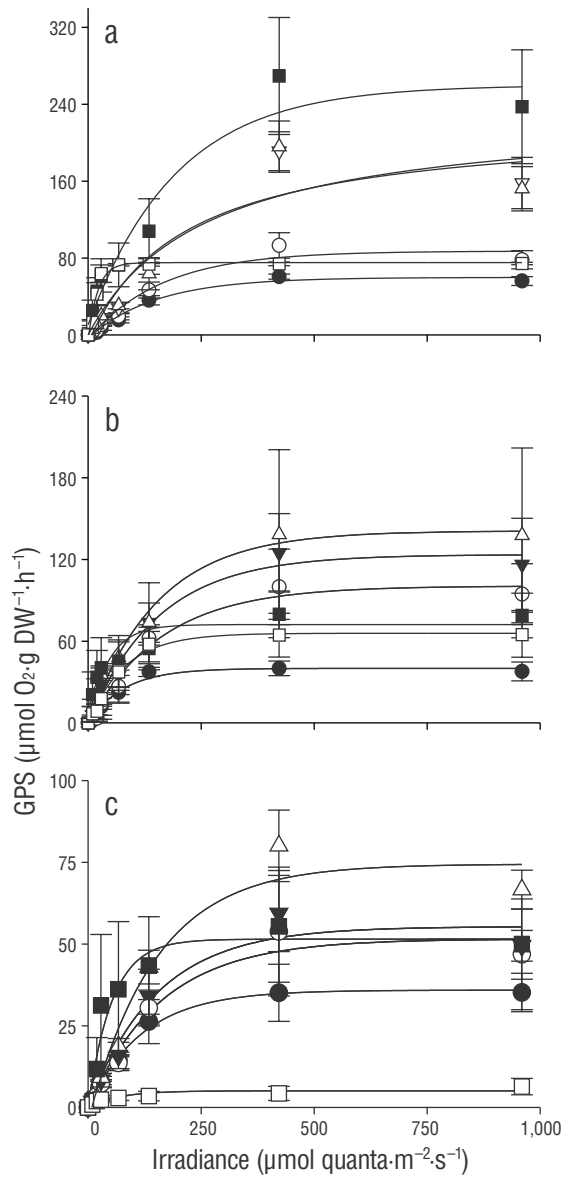


Figure S1. Photosynthesis (oxygen evolution) vs. irradiance curves in the studied coralline algae as a function of temperature (10–35 °C). (a) *Lithothrix aspergillum*, (b) *Corallina officinalis*, and (c) *Bossiella orbigniana*. Symbols represent the mean ($n = 4$) \pm SD. Error bars not shown are smaller than symbol size. Note the different scale of the y-axis used for each species.

Figura S1. Curvas de fotosíntesis (evolución de oxígeno) vs. irradiancia en las algas coralinas estudiadas en función de la temperatura (10–35 °C). (a) *Lithothrix aspergillum*, (b) *Corallina officinalis* y (c) *Bossiella orbigniana*. Los símbolos representan la media ($n = 4$) \pm desviación estándar. Las barras de error que no se muestran son menores que el tamaño del símbolo. Nótese que la escala del eje y es distinta para cada especie.

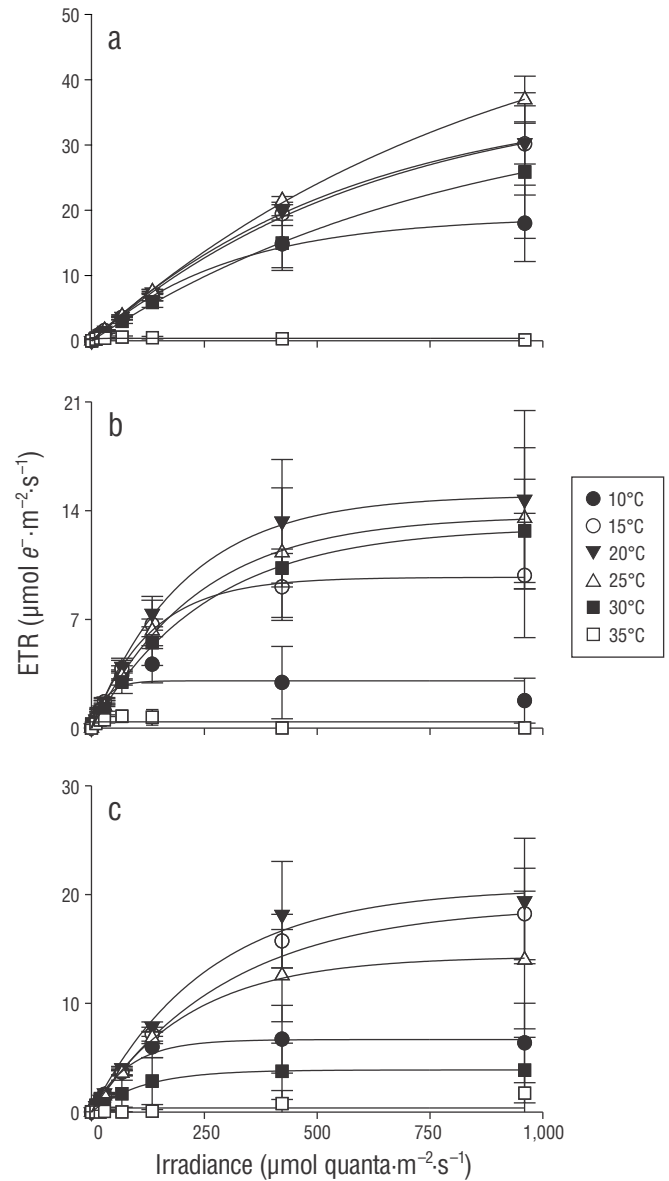


Figure S2. Electron transport rate vs. irradiance curves in the studied coralline algae as a function of temperature. (a) *Lithothrix aspergillum*, (b) *Corallina officinalis*, and (c) *Bossiella orbigniana*. Symbols represent the mean ($n = 4$) \pm SD. Error bars not shown are smaller than symbol size. Note the different scale of the y-axis used for each species.

Figura S2. Curvas de tasa de transporte de electrones vs. irradiancia en las algas coralinas estudiadas en función de la temperatura. (a) *Lithothrix aspergillum*, (b) *Corallina officinalis* y (c) *Bossiella orbigniana*. Los símbolos representan la media ($n = 4$) \pm desviación estándar. Las barras de error que no se muestran son menores que el tamaño del símbolo. Nótese que la escala del eje y es distinta para cada especie.

SUPPLEMENTARY MATERIAL

Table S1. Pairwise multiple comparisons (*t* tests) between different temperature treatments and photosynthetic descriptors in the studied coral-line algae. Abbreviations: P_{max} , maximum photosynthesis rate; R_D , dark respiration; α , initial slope of the photosynthesis vs. irradiance curve; E_k saturation irradiance; P:R, photosynthesis to respiration ratio; F_v/F_m , maximum photochemical efficiency; ETR_{max} , maximum electron transport rate; α_{ETR} , initial slope of the ETR vs. irradiance curve; and E_{kETR} , saturation irradiance for the ETR. See main text for details (Table 2). Significant differences are indicated with different superscript letters. No data for α_{ETR} and E_{kETR} for 35 °C in *Bossiella orbigniana*.

Tabla S1. Comparaciones (pruebas *t*) entre los distintos tratamientos de temperatura y los parámetros fotosintéticos de las algas coralinas estudiadas. Abreviaciones: P_{max} , tasa máxima de fotosíntesis; R_D , respiración en oscuridad; α , pendiente inicial de la curva fotosíntesis-irradiancia; E_k , irradiancia de saturación; P:R, razón fotosíntesis a respiración; F_v/F_m , eficiencia fotoquímica máxima; ETR_{max} , tasa máxima de transporte de electrones; α_{ETR} , pendiente inicial de la curva ETR vs. irradiancia; y E_{kETR} , irradiancia de saturación del ETR. Ver el texto principal para los detalles (Tabla 2). Las diferencias significativas están indicadas con letras distintas en superíndice. Sin datos para α_{ETR} y E_{kETR} a 35 °C para *Bossiella orbigniana*.

	Oxygen evolution	Multiple comparison	Chlorophyll <i>a</i> fluorescence	Multiple comparison
<i>Lithothrix aspergillum</i>	P_{max}^*	10 ^A 15 ^B 20 ^{CD} 25 ^C 30 ^D 35 ^E	F_v/F_m^*	10 ^A 15 ^A 20 ^A 25 ^A 30 ^B 35 ^B
	R_D^*	10 ^A 15 ^A 20 ^B 25 ^B 30 ^C 35 ^C	ETR_{max}	10 ^A 15 ^{AB} 20 ^{AB} 25 ^B 30 ^{AB} 35 ^C
	α^*	10 ^A 15 ^B 20 ^C 25 ^C 30 ^D 35 ^D	α_{ETR}	10 ^A 15 ^A 20 ^A 25 ^A 30 ^A 35 ^B
	E_k	10 ^A 15 ^A 20 ^{BC} 25 ^B 30 ^{AC} 35 ^D	E_{kETR}	10 ^{AB} 15 ^A 20 ^A 25 ^A 30 ^A 35 ^B
	P:R	10 ^{ABC} 15 ^{AB} 20 ^A 25 ^A 30 ^B 35 ^C		
<i>Corallina officinalis</i>	P_{max}^*	10 ^A 15 ^B 20 ^{BCD} 25 ^B 30 ^C 35 ^D	F_v/F_m^*	10 ^{AB} 15 ^A 20 ^A 25 ^{BC} 30 ^C 35 ^D
	R_D^*	10 ^A 15 ^{BD} 20 ^{CD} 25 ^{CD} 30 ^{BC} 35 ^D	ETR_{max}	10 ^A 15 ^{ABC} 20 ^{ABC} 25 ^{ABC} 30 ^B 35 ^C
	α^*	10 ^A 15 ^B 20 ^B 25 ^{CD} 30 ^C 35 ^{BD}	α_{ETR}^*	10 ^A 15 ^A 20 ^{ABC} 25 ^A 30 ^B 35 ^C
	E_k	ns	E_{kETR}	10 ^{AB} 15 ^{AB} 20 ^A 25 ^A 30 ^A 35 ^B
	P:R*	10 ^A 15 ^A 20 ^B 25 ^C 30 ^D 35 ^E		
<i>Bossiella orbigniana</i>	P_{max}	10 ^A 15 ^{AB} 20 ^{AB} 25 ^B 30 ^{AB} 35 ^C	F_v/F_m	10 ^A 15 ^A 20 ^A 25 ^A 30 ^{AB} 35 ^B
	R_D^*	10 ^A 15 ^B 20 ^C 25 ^C 30 ^D 35 ^{AB}	ETR_{max}	10 ^{AB} 15 ^C 20 ^C 25 ^{AC} 30 ^{AB} 35 ^B
	α^*	10 ^{AB} 15 ^A 20 ^{AB} 25 ^B 30 ^B 35 ^C	α_{ETR}^*	10 ^A 15 ^A 20 ^A 25 ^A 30 ^B
	E_k^*	10 ^A 15 ^B 20 ^B 25 ^B 30 ^A 35 ^A	E_{kETR}	10 ^A 15 ^B 20 ^B 25 ^{AB} 30 ^{AB}
	P:R*	10 ^A 15 ^{AB} 20 ^{AB} 25 ^B 30 ^C 35 ^C		

*Dwass–Steel–Critchlow–Fligner nonparametric test